

# Beramu materiālu vibropresēšanas procesa strukturālā identifikācija un optimizācijas kritēriji

Agrita Kovalska, *Rīgas Tehniskā universitāte*

**Kopsavilkums.** Beramu materiālu vibropresēšanas procesa strukturālās identifikācijas un optimizācijas kritēriju noteikšanai tika veiktas vairākas eksperimentu sērijas, izmantojot *Instron* un *Zwick* testēšanas mašīnas. Tika formēti betona paraugi, izmantojot formēšanas vibropresēšanas procesu. Par beramu materiālu tika izvēlēta betona java ar nemainīgu konsistenci un ar zemu ūdenscementa attiecību. Vibropresēšanas process tika identificēts ar sakarību  $f = f_0 + f_A \sin(\omega t)$ , kur  $f_0$  – presēšanas spēks,  $f_A$  – spēka amplitūda un  $\omega$  – vibrēšanas frekvence. Šie trīs parametri tika variēti ar mērķi optimizēt vibropresēšanas procesu paraugu veidošanā. Rezultāti analizēti ar *EDAOpt* programmatūru.

**Atslēgas vārdi:** identifikācija, kompaktēšana, optimizācija, vibropresēšanas process.

## I. IEVADS

Vibropresēšanas procesu var raksturot kā materiāla pakļaušanu presēšanai un vibrāciju ietekmei vienlaicīgi. Vibropresēšanas procesu pielieto vairāku produktu formēšanas laikā. Reaktoplastu (termoreaktīvās plastmasas) ražošanā vibropresēšanas formēšana ļauj ietaupīt formēšanas laiku un palielināt reaktoplasta kvalitāti [1]. Aglomerātu ražošanā vibropresēšanas tehnoloģijas pielietošanas rezultātā tiek iegūti materiāli, kuriem mikroporas un starpfrakciju tukšumi ir pilnībā likvidēti [2]. Vibropresēšanu pielieto brekesu ražošanā metalurgijā [3] un asfalta plākšņu ražošanā [1]. Vibropresēšanas tehniku plaši pielieto augstas izturības betona produktu – sienu bloku, brugakmens, apmaļu – izstrādē, kā arī cita veida betona izstrādājumu ražošanā.

Vibropresēšanas process realizēts laboratorijas apstākļos, izmantojot *Zwick* un *Instron* testēšanas mašīnas. Par beramo materiālu, kas pakļauts vibropresēšanas formēšanai, izvēlēta betona java ar nemainīgu konsistenci un ar zemu ūdenscementa attiecību (0,36), kas ieteicama augstas izturības betona produktu iegūšanai. Sagatavotā betona java ar masu 1 kg tika ievietota cilindriskā presformā ar diametru 8,4 cm.

Vibropresēšanas process identificēts ar sakarību:

$$f = f_0 + f_A \sin(\omega t), \quad (1)$$

kur  $f_0$  – presēšanas spēks,  $f_A$  – spēka amplitūda un  $\omega$  – vibrēšanas frekvence.

Pēc Latīņu hiperkuba metodes tika izstrādāts un realizēts eksperimentu plāns, variējot trīs iepriekšminētos mainīgos parametrus. Reģistrētie dati tika apkopoti un analizēti, un par to darbā izklāstīts plašāk.

Iegūtie paraugi tika sagrauti pēc 28 dienām, un to izturības robežas tika reģistrētas. Daļa no eksperimentiem tika veikta „TMB elements” laboratorijas telpās. Sākumā visi paraugi tika rūpīgi nosvērti un nomērīti, pēc tam tika meklētas sakarības

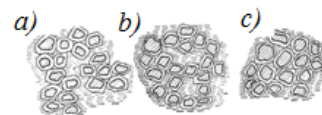
starp uzdotajiem un iegūtajiem lielumiem ar *EDAOpt* programmatūras palīdzību. Respektīvi, tika meklētas tās mainīgo parametru vērtības, kurām atbilst visaugstākā paraugu kvalitāte, un kā ktrs no mainīgajiem uzdotajiem parametriem iespaido gatavo produkciju.

## II. BERAMU MATERIĀLU KOMPAKTĒŠANA

Beramo materiālu, kuru sastāvā ir dažāda izmēra sīkas daļīņas jeb granulas, efektīvas kompaktēšanas galvenais uzdevums ir panākt, lai materiālam būtu pēc iespējas lielāks blīvums, t.i., lai attālumi starp daļīņām būtu pēc iespējas mazāki. Porās un starp granulām atrodas gaiss.

Pētāmā betona javas sastāvā ietilpst smiltis (ar frakciju 0,3–12 mm), cements un ūdens, turklāt ūdens un cementa attiecība ir ļoti zema – 0,36 –, kas ļauj pieņemt esošo materiālu par beramo. Kompaktēšanas jeb presēšanas pirmajā stadijā lielākās gaisa poras tiek pārvietotas iedarbības spēka virzienā, tādējādi gaiss tiek daļēji izvadīts no materiāla. Nākamo kompaktēšanas stadiju var raksturot ar plastisko deformāciju, proti, daļēju granulu formu izmaiņu un saskarsmes virsmu palielināšanu starp tām. Vienlaicīgi no granulām uz to saskarsmes virsmām tiek izspiests ūdens ar tajā izšķidušajām cementa daļīnām, kā rezultātā saķere starp daļīņām palielinās. Toties materiālā var palikt saspiests gaiss, kas nespēj izspiesties ārā. Ja paraugu ar šādu gaisu izņem no presformas, tad, gaisam izplešoties, var notikt materiāla noslānošanās, kas nav pieļaujams augstas izturības betona izstrādājumos [4] un [5].

Vibrēšanas procesa ietekmē no betona tiek izvadīts ieslēgtais gaiss, kā rezultātā betona java tiek sablīvēta vēl vairāk [6]. Aptuveno daļiņu izkārtojumu pirms un pēc sablīvēšanas var apskatīt 1. attēlā: a – betona javas granulometriskais attēls pirms presēšanas; b – betona javas granulometriskais attēls pēc presēšanas jeb formēšanas ar iespiesto gaisu; un c – granulometriskais attēls, ja gaiss ir izspiests ārā.

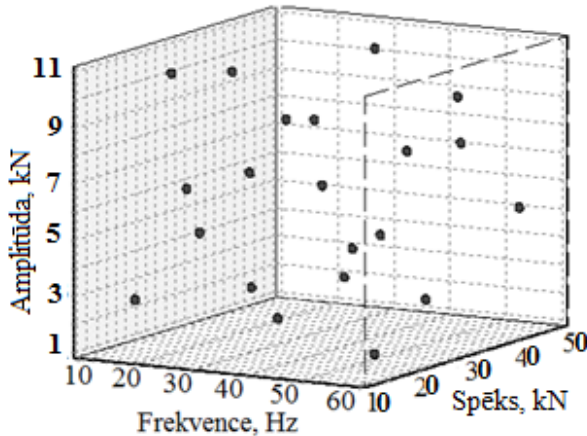


1. att. Beramā materiāla dažāda lieluma sastāvdalju jeb graudu kompaktēšana [5].

Ar vibrēšanu ieteicams apstrādāt betona javu ar zemu ūdens konsistenci, kas ļauj ar mazāku cementa patēriņu iegūt augstas izturības betonu [6]. Apvienojot presēšanu ar vibrēšanu, daļīņas tiek mehāniski ierosinātas un reizē saplacinātas. Tātad gaisa ieslēgumi tiek izspiesti ārā, daļīņas tiek ciešāk saspiestatas un līdz ar to palielinās to saķeres virsma, kas arī ir nepieciešams augstas izturības betona iegūšanai.

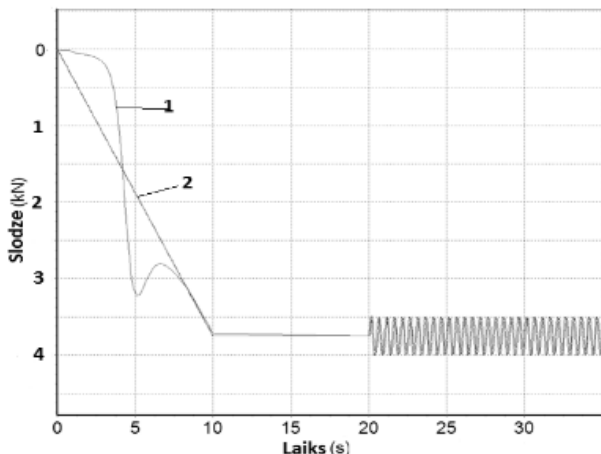
### III. EKSPERIMENTU PLĀNS UN NORISE

Eksperimentu plāns tika sastādīts pēc Latīņu hiperkuba metodes [7] ar programmatūras *EDAOpt* palīdzību, ko var aplūkot 2. attēlā. Svārstību frekvence  $\omega$  tika variēta intervālā no 10 Hz līdz 60 Hz, presēšanas spēka jeb pieliktās slodzes  $f_0$  intervāls bija no 10 kN līdz 50 kN, un spēka amplitūdas  $f_A$  robežas – no 1 līdz 11 kN.



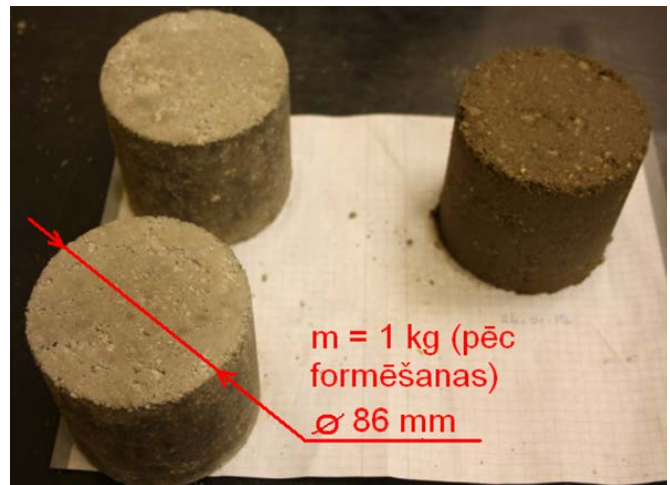
2. att. Eksperimentu plāns, sastādīts pēc Latīņu hiperkuba metodes.

Katrā punktā (2. attēlā) tiek veikti vismaz trīs mēģinājumi (eksperimenti), kas atbilst uzdotajiem parametriem; parametri neatkarīgos un pēc iespējas minimāli un vienmērīgi ir izkliegti Latīņu hiperkuba telpā. Mainīgo parametru robežnosacījumus ieteikmē betona javas formēšanas raksturīpašbas un izmantoto testēšanas mašīnu iespējas.



3. att. Vibropresēšanas procesa vizuālizācija.

Vibropresēšanas process, ko raksturo sakarība (1), ir vizualizēts 3. attēlā. Ar *Instron* testēšanas mašīnas palīdzību tika konstruētas attēlā redzamās līknes. Vispirms parauga betona javu ar masu 1 kg cilindriskajā presformā noslogoja līdz uzdotajai slodzei  $f_0$ , un pēc tam realizēja svārstību spēka amplitūdu ar noteiktu frekvenci  $f_A \sin(\omega t)$ . Grafikā redzama pieliktās slodzes izmaiņa laikā [8]. Līkne 2 attēlo uzdoto režīmu (1), bet līkne 1 – realizēto režīmu. Pirmajā posmā līknēm nav sakritības, un, iespējams, realizētā procesa līknes izliekumu var izskaidrot ar lielāko daļiju sabrukšanu un primāro gaisa izspiešanu.

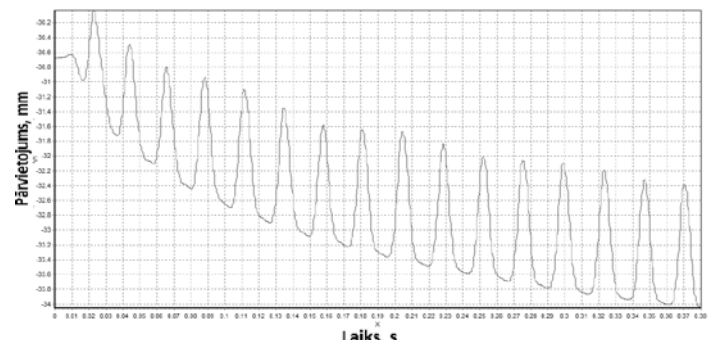


4. att. Betona paraugi.

Vibropresēšanas procesa rezultātā tika iegūti betona paraugi cilindriskajā presformā (skat. 4. att.). Pēc formēšanas katrā parauga masa bija 1 kg un diametrs – 86 mm.

### IV. VIBROPRESĒŠANAS PROCESA IDENTIFIKĀCIJA

Testēšanas mašīna *Zwick* vibropresēšanas procesu vizualizēja ar virzuļa pārvietojumu līkni jeb ar parauga formēšanas līkni (skat. 5. att.).

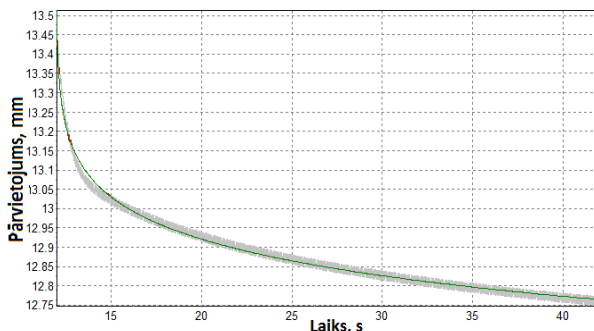


5. att. Parauga formēšanas līkne.

Pie uzdotās konstantās slodzes un slodzes amplitūdas, kas parādītas 3. attēlā, redzams, ka parauga kompaktēšana notiek praktiski ar katru periodu 5. attēlā redzamajā laika posmā – sākumā straujāk, un tad arvien mērenāk. Jo vairāk paraugs tiek saspiests, jo vairāk tas tiek sablīvēts. Parauga sablīvēšanas pakāpe norāda uz parauga turpmāko izturību [9]. Visefektīvākais vibropresēšanas pielietojums betona paraugu formēšanā ir tajā posmā, kad parauga kompaktēšana notiek visstraujāk, jo vibropresēšanas process prasa lielus enerģijas patēriņus.

Analizējot parauga kompaktēšanas līkni, tai tiek meklēta funkcija, kas varētu aproksimēt iegūtos rezultātus, balstoties uz mazāko kvadrātu metodi, ar mērķi aprakstīt vibropresēšanas procesa kompaktēšanas uzvedību.

Pilna parauga kompaktēšanas līkne ir parādīta 6. attēlā.



6. att. Parauga kopmaktešanas līkne un aproksimētā līkne.

Šādu tipisku parauga formēšanas līkni ir izdevies diezgan precīzi aproksimēt ar funkciju:

$$x(t) = x_0 + R(t - t_0 + \Delta)^p, \quad (2)$$

kurai ir četri parametri –  $x_0$ ,  $R$ ,  $\Delta$  un  $p$ . Aproksimētās funkcijas līkni var apskatīt 6. attēlā. Raksturojot katru no parametriem, tiek iegūts, ka  $x_0 = x(t_0)$ ,  $\Delta = 0,02$ ,  $p = 0,05$  (parametri ar konstantām vērtībām), bet parametru  $R$  var variēt, pielāgojot to kompaktešanas līknei. Var secināt, ka tieši parametra  $R$  atkarība no trim sākumā uzdotajiem mainīgajiem vibropresēšanas procesa parametriem  $R = f(f_0, f_A, \omega)$  ļauj analizēt un optimizēt vibropresēšanas procesu [2].

## V. VIBROPRESĒŠANAS PROCESA OPTIMIZĀCIJAS KRITĒRIJI

Lai optimizētu vibropresēšanas procesu, tiek izvirzīti šādi kritēriji:

1) procesa ilgums,  $(t, s) \rightarrow \min$ ;

Īsākā vibropresēšanas laikā testēšanas mašīna tiek izmantota lietderīgāk, jo vibropresēšanas procesu ir efektīvi pielietot parauga straujai kompaktešanai.

2) patēriņa energija,  $(W, J) \rightarrow \min$ ;

Ja pie dažāda energijas patēriņa paraugu stiprība ir vienāda, tad noteikti jaizvēlas minimalā patēriņa energija, kas nodrošina paraugu stiprību. Patēriņo energiju ietekmē trīs parametri  $f_0$ ,  $f_A$  un  $\omega$ , kas ievadīti procesa sākumā.

3) kompaktešanas raksturlielums,  $(h, mm) \rightarrow \min$ ;

Jo vairāk paraugs tiek saspiests, jo mazāks ir tā augstums  $h$  un jo lielāks ir parauga blīvums, kas novērtētie lielākas parauga stiprības;

4) paraugu izturība pēc 28 dienām,  $(P, kN) \rightarrow \max$ ;

Vibropresēšanas procesa realizācija ļauj paaugstināt paraugu stiprību, ja betona javas sastāvs paliek nemainīgs.

5) produkta izmaksas ( $L_s$ )  $\rightarrow \min$ .

Efektīvs vibropresēšanas procesa pielietojums ļauj ietaupīt enerģētiskos resursus un samazināt cementa daudzumu betona javas sastāvā, kas kopumā samazina produkta izmaksas.

## VI. SECINĀJUMI

Identificēts vibropresēšanas process ar trim mainīgajiem parametriem, kas tika izmantoti eksperimentu plāna uzbūvē pēc Latīņu hiperkuba metodes, izmantojot *EDAOpt* programmatūru. Veikti betona vibropresēšanas formēšanas eksperimenti ar materiālu dinamiskās testēšanas iekārtām un noteikta paraugu stiprība. Beramais materiāls – betona java ar zemu ūdens-cementa attiecību – tika formēts cilindriskā tilpne. Izstrādāti metamodeļi, kas raksturo kompaktešanas procesa parametru atkarību no tehnoloģiskā procesa parametriem. Balstoties uz izvēlētā dinamiskā procesa raksturparametriem un ņemot vērā vibropresēšanas procesa īpašības un beramā materiāla (betona) sastāvu, tika noteikti multikriteriālās optimizācijas kritēriji, kuri tiks izmantoti vibropresēšanas procesa turpmākajā optimizācijā un analīzē.

## LITERATŪRAS SARASTS

1. Устройство вибропрессования термореактивных материалов. <http://kursknet.ru/~nikiti/plastic/yvr.htm>
2. Гранит-Камень. [http://www.grand-kamen.ru/catalog\\_aglo.php](http://www.grand-kamen.ru/catalog_aglo.php)
3. История брикетирования. [http://briket.ru/briket\\_his.shtml](http://briket.ru/briket_his.shtml)
4. Karasik, V. L., Uchitel, A. D., Vavilov, A. F., et. al. Basic parameters in vibropressing large dinas quartzite cement blocks, *Refractories and Industrial Ceramics*, 31, (11–12), 1990, p. 636–643.
5. Ахвердов, И. Н. *Основы физики бетона*. Москва: Стройиздат, 1981.
6. Керамика. <http://ceramis.ru/index.php?id=133>
7. Aužiņš, J., Januševskis, A. *Eksperimentu plānošana un analīze*. Rīga: RTU. 2006.
8. Aužiņš, J., Januševskis, A., Kovalska, A., Ozoliņš, O. Experimental Identification and Optimization of the Concrete Block Vibropressing Process. *JVE Journal of Vibroengineering*, March 2010., p. 1–12.
9. Виброрование бетона. <http://rsbeton.ru/uchod-za-betonom/vibrirovaniye-betona.html>

**Agrita Kovalska, M. sc. ing.**, postgraduate student, Institute of Mechanics, Riga Technical University.

Address: 6 Ezermalas iela, Riga, LV-1006, Latvia. Phone: +371 67089396; E-mail: agritakovalska@inbox.lv

## Agrita Kovalska. Structural identification and optimization criteria of the vibropressing process of bulk materials

The vibropressing regime was implemented by means of the testing machines Instron and Zwick. As a bulk materials concrete with low water-cement ratio was used. The form of the samples was cylindrical with a 84.5-mm diameter. A series of experiments was conducted according to the Mean Square Error Latin hypercube design [1]. The vibropressing regime described by the formula  $f = f_0 + f_A \sin(\omega t)$  was realized by changing three parameters:  $f_0$  – pressing force (10–50 kN);  $f_A$  – force amplitude (1–11 kN); and frequency (10–60 Hz). The three parameters were varied in a specified range. At each point of the Latin hypercube, three samples were formed. The curve describing the compression of the sample was approximated by the expression  $x(t) = x_0 + R(t - t_0 + \Delta)^p$  (2), where  $x_0 = x(t_0)$ ,  $\Delta = 0,02$ , and  $p = 0,05$ , but parameter  $R$  can be changed adapting it to the specific compression curve of the sample [2]. The obtained function (2) was used for further processing of the vibropressing process in general. The samples were tested for strength by compression after 28 days. The criteria and constraints for multi-criteria optimization were advanced. The optimization of pressing force, force amplitude and frequency on the vibropressing process [3] and on the strength of the samples was investigated. The registered force curves were smoothed and approximated with 3-parameter functions. The results are analyzed using the software Design Expert and *EDAOpt*.